

連続格子桁の理論解析について [I]

—主桁曲げ剛性のみを考慮する場合—

北海道南港コンサルタント(構造計算部次長 正会員 ○津田義和

1. まえがき

本論文の対象としている“曲げ剛性のみを考慮した連続格子桁の理論解析とプログラミング”は5年前に完成し、現在実際構算に使用されており、後に掲載されている“横れ剛性を考慮した連続格子桁の理論解析手法と同様、応力法によって解析される。応力法は変形法に比べて計算速度が速いといはラメリットがあるが、一方その適用範囲は狭い。従って応力法を使用する場合、理論解析、プログラム上対象構造物の適用範囲を出来るだけ拡大する様配慮しなくてはならぬ。本論文で使用されている変数のサフィックスは少く表記の感を呈しているが、プログラムを作成する際サフィックスそのものをプログラム変数の添字として使用するため簡略化することが出来なかつた。

2. 対象構造形状と適用範囲

オ1 図に示されている様に主桁のみ、横桁と主を含む任意形状の連続格子桁を考える。主桁及び横桁は曲げ

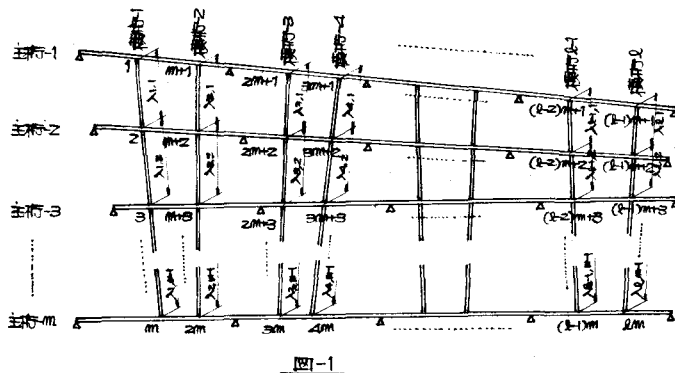


図-1

剛性のみ考慮し、横れ剛性は考慮しない。又、主桁と横桁とは直線自由のピンによって結合されているものとする。主桁、横桁の配置は上図の様に任意であるが、横桁は支承を除く軸の中間に配置されなくてはならない。主桁、横桁本数、径向数は理論解析上任意であるが、実際構算の処理方程式のマトリックスの元数 $m \times l$ 上制約があり、現在 $m \times l = 70$ 程度である。

3. 理論の概要

オ1 図の主桁と横桁とのピン結合を解放して構造、即ち連続桁と横桁(断面)とを分離してそれを基本要素として解析する。この構造上に外力が作用すると各格子点に格子点力が生ずるが、この場合

- (1) 外力とこの格子点力によって生じた格子点位置に沿ける主桁。荷重と横桁の荷重は等しい。
- (2) 各横桁上の格子点力の総和は零である。

(3) 各構成端の格子点に於ける各構成上格子点力に於ける曲げモーメントは零である。
の三条件が成立し、この三条件より任意荷重と格子点力との関係がマトリックスの形式で表示出来る。

在野方種村。一郎形村は、

ご存はれ、脚性マトリックス $[K]$ は任意荷重が外荷と移動する場合と内荷を移動する場合とござる。値が要る、之をマトリックス-**A**(外荷 $G-1$ を移動する場合)、マトリックス-**B**(内荷 $G-2 \sim G-m-1$ を移動する場合)、マトリックス-**C**(外荷 $G-m$ を移動する場合)とする。

4. 仕事方程式

ある主桁上に任意荷重 P が作用し E 場合、各格子点には $q_1, q_2, \dots, q_{m-1}, q_m$ なる $m \times l$ 個の格子点力が生ずる；格子点 $2, 3, \dots, m-1, m+2, \dots, (l-1)m+2, lm-1$ は於ける横桁の接みの一端式または次の様である。

主柄の番号を i 、横柄の番号を j と表記し、格子節力を f 、主柄本数 m 、横柄本数 n とする。 d_{ij} は垂直荷重 j 節に単位荷重が作用した時の i の変位、 α_{ij} は横柄(単純柄)の j 節に単位荷重が作用した時の i 節の変位、 $\beta_{ii} = d_{ii} + \alpha_{ii}$ とする。

主術が $i = 2, 3, 4, \dots, m-1$ の場合

4-1. 主軸-1 上に荷重 P が作用する場合の仕事方程式

主桁-1 上に荷重のみ作用する場合の主桁の飛込みは

主病 i=1 ~ 痘

$$\delta G_{(j-1)m+l} = - \sum_{i=1}^k \left[\delta G_{(j-1)m+i, (k-1)m+i} q_{(k-1)m+i} \right] + W_l \cdot \delta G_{(j-1)m+l, x} \quad (j=1, 2, \dots, l) \quad \dots \dots \dots \quad (3)$$

主軸 $i=2, 3, \dots, m$ の場合

である。三条件の(1) 主柄と横柄の塊けは等しいより 式(3), (4)を式(2)に代入すると

$$\sum_{k=1}^{m-1} \left[\delta_{(j-1)m+1, (k-1)m+1} \cdot q_{(k-1)m+1} - \frac{\sum_{l=k}^{m-1} \lambda_{j,k}}{\sum_{l=k}^{m-1} \lambda_{j,k}} \cdot \delta_{(j-1)m+l, (k-1)m+l} \cdot q_{(k-1)m+l} + \frac{\sum_{l=k}^{m-1} \lambda_{j,k}}{\sum_{l=k}^{m-1} \lambda_{j,k}} \cdot \delta_{(j-1)m+m, (k-1)m+m} \cdot q_{(k-1)m+m} \right] \\ - \sum_{k=2}^{m-1} \frac{\sum_{l=k}^{m-1} \lambda_{j,k}}{\sum_{l=k}^{m-1} \lambda_{j,k}} \cdot \delta_{(j-1)m+l, k} \cdot q_{(j-1)m+k} = w_i \cdot \delta_{(j-1)m+1, x} \quad \dots \dots \dots \quad (5)$$

(i=2, 3, ..., m-1; j=1, 2, 3, ..., l)

条件(2), (3)より

$$\sum_{k=0}^m \left[\sum_{l=1}^{K-1} \lambda_{j,l} q_{(j-1)m+k} \right] = 0 \quad (j=1, 2, 3, \dots, l) \quad (7)$$

この一般式より格子点力 q_F に関する連立方程式が得られるが、之をマトリックスに表すと、

要素 K_{ij} が各 i, j マトリックスを「マトリックス- A_j 」と呼び、対角行列 K_{ii} 、対角要素以外の小行列 K_{ij} により成り、この内容は表-1、表-2 に示す通りである。 $\Theta_1, \Theta_2, \Theta_3, \dots, \Theta_L; P_1, P_2, P_3, \dots, P_L$ も小行列であって、前者は格子点力、後者は荷重 \times たわみを表しているが、説明は省略する。

4-2 主席-2~m-1上に荷重wが作用する場合の仕事方程式

内荷物も主荷~2~M-1 上に荷重Wが作用した場合、主筋の掩みは

主成分 $i=1$ 又は m の場合

$$\delta_{(j-1)m+i} = - \sum_{k=1}^l \delta_{(j-1)m+i, (k-1)m+i} \cdot q_{(k-1)m+i} \quad (j=1, 2, 3, \dots, l) \quad (9)$$

主成分 $i = 2, 3, 4, \dots, m-1$ の場合

$$d(j-1)m+i = -\sum_{k=1}^l d(j-1)m+i, (k-1)m+i \cdot q^{(k-1)m+i} + w_i \cdot d_i x \quad (j=1, 2, 3, \dots, l) \quad (10)$$

である。条件(1) 主席と模倣の接みは等しいから、式(9), (10) を式(2)に代入すると、

条件(2), (3)より式(6), (7)が得られる。この二式より格子点力 η_k に関する連立方程式が得られる。

直方程式は式(8)と同じ形式で、要素 k によるマトリックスをこの場合「マトリックス - B」 と呼び 、右角小行列 K_{ii} 、左角要素以外の小行列 K_{ij} の内容は表-3、表-4に表示されている。

4-3 主桁-m上に荷重Wmが作用する場合の仕事方程式

主桁側上に荷重 W_m が作用した場合の主桁の挠みは

主桁 $i=1, 2, 3, \dots, m-1$ の場合

$$\delta_{(j-1)m+i} = -\sum_{k=1}^l [q_{(k-1)m+i} \cdot \delta_{(j-1)m+i, (k-1)m+i}] \quad (j=1, 2, \dots, l) \quad (2)$$

主桁 $i=m$ の場合

$$\delta_{(j-1)m+i} = -\sum_{k=1}^l [q_{(k-1)m+i} \cdot \delta_{(j-1)m+i, (k-1)m+i}] + W_m \cdot \delta_{(j-1)m+i, x} \quad (j=1, 2, \dots, l) \quad (3)$$

である。条件(1)の主桁と横桁の挠みは等しいから、式(2),(3)を式(1)に代入すると、

$$\begin{aligned} & \frac{\sum_{k=1}^{m-1} \lambda_{j,k}}{\sum_{k=1}^l \lambda_{j,k}} \cdot \sum_{k=1}^l [\delta_{(j-1)m+1, (k-1)m+1} \cdot q_{(k-1)m+1}] - \frac{\sum_{k=1}^{m-1} \lambda_{j,k}}{\sum_{k=1}^l \lambda_{j,k}} \cdot \sum_{k=1}^l [\delta_{(j-1)m+i, (k-1)m+i} \cdot q_{(k-1)m+i}] \\ & - \frac{\sum_{k=1}^{m-1} \lambda_{j,k}}{\sum_{k=1}^l \lambda_{j,k}} \sum_{k=2}^{m-1} [\delta_{(j-1)m+i, k} \cdot q_{(j-1)m+k}] + \sum_{k=1}^l [\delta_{(j-1)m+m, (k-1)m+m} \cdot q_{(k-1)m+m}] = W_m \cdot \delta_{(j-1)m+m, x} \\ & (l=2, 3, \dots, m-1; j=1, 2, 3, \dots, l) \end{aligned} \quad (4)$$

条件(2),(3)より式(6),(7)が得られる。この一般式トリガ子点力 q_j に関する連立方程式が得られる。
連立方程式は式(8)と同じ形式で、要素 C によるマトリックスをこの場合「マトリックス- C 」と呼び、対角行列 K_{ii} 、対角要素以外の小行列 K_{ij} の内容は表-5、表-6と表示されている。

4-4 構子点力 q_j

以上より、マトリックス $[A], [B], [C]$ が定義され、構子点力 q_j は、

$$[A] \cdot [e] = [P] \quad [B] \cdot [e] = [Q] \quad [C] \cdot [e] = [R] \quad (5)$$

と求められ、ここでマトリックス $[A], [B], [C]$ の逆マトリックスを計算し、

$$[A]^{-1} \cdot [P] = [e] \quad [B]^{-1} \cdot [Q] = [e] \quad [C]^{-1} \cdot [R] = [e] \quad (6)$$

と求められた簡単な計算は必要ない。

更に、マトリックス $[A]^{-1}, [B]^{-1}, [C]^{-1}$ の組合せによりマトリックス- D を構成し、最終的に構子点力 q_j として求める。

$$[D] \cdot [P] = [e]$$

下図の如くマトリックス- $[A]^{-1}, [B]^{-1}, [C]^{-1}$ は m 行、 m 列よりなる正方形行列を要素とする m 行、 m 列の正方形である。

$[A]^{-1}$				$[B]^{-1}$				$[C]^{-1}$			
1	2	...	l	1	2	...	l	1	2	...	l
A_{11}	A_{12}	...	A_{1l}	B_{11}	B_{12}	...	B_{1l}	C_{11}	C_{12}	...	C_{1l}
A_{21}	A_{22}	...	A_{2l}	B_{21}	B_{22}	...	B_{2l}	C_{21}	C_{22}	...	C_{2l}
\vdots	\vdots		\vdots	\vdots	\vdots		\vdots	\vdots	\vdots		\vdots
A_{ll}	A_{l2}	...	A_{ll}	B_{l1}	B_{l2}	...	B_{ll}	C_{l1}	C_{l2}	...	C_{ll}

表-1 マトリックス-A 対角行列 K_{II}

$\delta_{(i-1)m+1},$ $(i-1)m+1$	$\sum_{k=1}^{m-1} \lambda_{ik}$ $\sum_{k=1}^{m-1} \lambda_{ik} (i-1)m + 2,$ $\sum_{k=2}^{m-1} \lambda_{ik} (i-1)m + 2$	$\sum_{k=1}^{m-1} \lambda_{ik}$ $\alpha(i-1)m + 2,$ $\sum_{k=2}^{m-1} \lambda_{ik} (i-1)m + 3$	$\sum_{k=1}^{m-1} \lambda_{ik}$ $\alpha(i-1)m + 2,$ $\sum_{k=2}^{m-1} \lambda_{ik} (i-1)m + 4$	$\sum_{k=1}^{m-1} \lambda_{ik}$ $\alpha(i-1)m + 2,$ $\sum_{k=2}^{m-1} \lambda_{ik} (i-1)m + m - 1$	$\frac{\lambda_1 + \lambda_2}{\sum_{k=1}^{m-1} \lambda_{ik}}$ $\delta_{im, im}$
$\delta_{(i-1)m+1},$ $(i-1)m+1$	$\sum_{k=1}^{m-1} \lambda_{ik}$ $\sum_{k=1}^{m-1} \lambda_{ik} (i-1)m + 3,$ $\sum_{k=2}^{m-1} \lambda_{ik} (i-1)m + 2$	$\sum_{k=1}^{m-1} \lambda_{ik}$ $\beta(i-1)m + 3,$ $\sum_{k=2}^{m-1} \lambda_{ik} (i-1)m + 3$	$\sum_{k=1}^{m-1} \lambda_{ik}$ $\alpha(i-1)m + 3,$ $\sum_{k=2}^{m-1} \lambda_{ik} (i-1)m + 4$	$\sum_{k=1}^{m-1} \lambda_{ik}$ $\alpha(i-1)m + 3,$ $\sum_{k=2}^{m-1} \lambda_{ik} (i-1)m + m - 1$	$\frac{\lambda_1 + \lambda_2}{\sum_{k=1}^{m-1} \lambda_{ik}}$ $\delta_{im, im}$
$\delta_{(i-1)m+1},$ $(i-1)m+1$	$\sum_{k=1}^{m-1} \lambda_{ik}$ $\sum_{k=1}^{m-1} \lambda_{ik} (i-1)m + 4,$ $\sum_{k=2}^{m-1} \lambda_{ik} (i-1)m + 2$	$\sum_{k=1}^{m-1} \lambda_{ik}$ $\alpha(i-1)m + 4,$ $\sum_{k=2}^{m-1} \lambda_{ik} (i-1)m + 3$	$\sum_{k=1}^{m-1} \lambda_{ik}$ $\beta(i-1)m + 4,$ $\sum_{k=2}^{m-1} \lambda_{ik} (i-1)m + 4$	$\sum_{k=1}^{m-1} \lambda_{ik}$ $\alpha(i-1)m + 4,$ $\sum_{k=2}^{m-1} \lambda_{ik} (i-1)m + m - 1$	$\frac{\lambda_1 + \lambda_2}{\sum_{k=1}^{m-1} \lambda_{ik}}$ $\delta_{im, im}$
.....
$\delta_{(i-1)m+1},$ $(i-1)m+1$	$\sum_{k=1}^{m-1} \lambda_{ik}$ $\frac{\lambda_1 + \lambda_2}{\lambda_{im-1}} \beta(i-1)m + m - 1,$ $(i-1)m + 2$	$\sum_{k=1}^{m-1} \lambda_{ik}$ $\alpha(i-1)m + m - 1,$ $(i-1)m + 3$	$\sum_{k=1}^{m-1} \lambda_{ik}$ $\alpha(i-1)m + m - 1,$ $(i-1)m + 4$	$\sum_{k=1}^{m-1} \lambda_{ik}$ $\beta(i-1)m + m - 1,$ $(i-1)m + m - 1$	$\frac{\lambda_1 + \lambda_2}{\lambda_{im-1}}$ $\delta_{im, im}$
1	1	1	1	1	1
0	λ_{i1}	$\lambda_{i1} + \lambda_{i2}$	$\lambda_{i1} + \lambda_{i2} + \lambda_{i3}$	$\sum_{k=1}^{m-2} \lambda_{ik}$	$\sum_{k=1}^{m-1} \lambda_{ik}$

表-2 アルゴスA の断面以外の行列 K_{ij}

$\delta_{(i-1)m+1, (j-1)m+1}$	$\sum_{k=1}^{i-1} \lambda_{ik}$ $\sum_{k=1}^{i-1} \lambda_{ik} (j-1)m+2$	0	0	0	$\frac{\sum_{k=1}^{i-1} \lambda_{ik}}{\sum_{k=1}^{i-1} \lambda_{ik}} \delta_{im, jm}$
$\delta_{(i-1)m+1, (j-1)m+1}$	0	$\sum_{k=1}^{i-1} \lambda_{ik}$ $\sum_{k=1}^{i-1} \lambda_{ik} (j-1)m+3$ $\sum_{k=1}^{i-1} \lambda_{ik} (j-1)m+3$	0	0	$\frac{\sum_{k=1}^{i-1} \lambda_{ik}}{\sum_{k=1}^{i-1} \lambda_{ik}} \delta_{im, jm}$
$\delta_{(i-1)m+1, (j-1)m+1}$	0	0	$\sum_{k=1}^{i-1} \lambda_{ik}$ $\sum_{k=1}^{i-1} \lambda_{ik} (j-1)m+4$ $\sum_{k=1}^{i-1} \lambda_{ik} (j-1)m+4$	0	$\frac{\sum_{k=1}^{i-1} \lambda_{ik}}{\sum_{k=1}^{i-1} \lambda_{ik}} \delta_{im, jm}$
...
$\delta_{(i-1)m+1, (j-1)m+1}$	0	0	0	$\sum_{k=1}^{m-1} \lambda_{ik}$ $\sum_{k=1}^{m-1} \lambda_{ik} (j-1)m+m-1$ $(j-1)m+m-1$	$\frac{\sum_{k=1}^{m-1} \lambda_{ik}}{\sum_{k=1}^{m-1} \lambda_{ik}} \delta_{im, jm}$
0	0	0	0	0	0
0	0	0	0	0	0

表-3 アリスト-B 対角小行列

$\sum_{k=1}^{n-1} jik$ $\sum_{k=1}^{n-1} jik - \delta(i-1)m+1,$ $\sum_{k=1}^{n-1} jik - (i-1)m+1$	$\beta_{(i-1)m+2},$ $(i-1)m+2$	$\alpha(i-1)m+2,$ $(i-1)m+3$	$\alpha(i-1)m+2,$ $(i-1)m+4$	$\alpha(i-1)m+2,$ $(i-1)m+m-1$	$\frac{A_1}{\sum_{k=1}^{n-1} jik} \beta_{im, im}$
$\sum_{k=1}^{n-1} jik$ $\sum_{k=1}^{n-1} jik - \delta(i-1)m+1,$ $\sum_{k=1}^{n-1} jik - (i-1)m+1$	$\alpha(i-1)m+3,$ $(i-1)m+2$	$\beta_{(i-1)m+3},$ $(i-1)m+3$	$\alpha(i-1)m+3,$ $(i-1)m+4$	$\alpha(i-1)m+3,$ $(i-1)m+m-1$	$\frac{A_1 + A_2}{\sum_{k=1}^{n-1} jik} \beta_{im, im}$
$\sum_{k=1}^{n-1} jik$ $\sum_{k=1}^{n-1} jik - \delta(i-1)m+1,$ $\sum_{k=1}^{n-1} jik - (i-1)m+1$	$\alpha(i-1)m+4,$ $(i-1)m+2$	$\alpha(i-1)m+4,$ $(i-1)m+3$	$\beta_{(i-1)m+4},$ $(i-1)m+4$	$\alpha(i-1)m+4,$ $(i-1)m+m-1$	$\frac{A_1}{\sum_{k=1}^{n-1} jik} \beta_{im, im}$
.....
$\sum_{k=1}^{n-1} jik$ $\sum_{k=1}^{n-1} jik - \delta(i-1)m+1,$ $\sum_{k=1}^{n-1} jik - (i-1)m+1$	$\alpha(i-1)m+m-1,$ $(i-1)m+2$	$\alpha(i-1)m+m-1,$ $(i-1)m+3$	$\alpha(i-1)m+m-1,$ $(i-1)m+4$	$\beta_{(i-1)m+m-1},$ $(i-1)m+m-1$	$\frac{A_1}{\sum_{k=1}^{n-1} jik} \beta_{im, im}$
1	1	1	1	1	1
0	A_1	$A_1 + A_2$	$A_1 + A_2 + A_3$	$\sum_{k=1}^{n-2} jik$	$\sum_{k=1}^{n-1} jik$

表4 次元-次元-四面體要素の小行列

$\sum_{k=1}^{n-1} \alpha_{ik}$ $\frac{\partial}{\partial i} - \delta(i-1)m+1,$ $\sum_{k=1}^{n-1} \alpha_{ik} (j-1)m+1$	$\delta(i-1)m+2,$ $(j-1)m+2$	0	0	0	$\sum_{k=1}^{n-1} \alpha_{ik}$ $\delta_{im, jm}$
$\sum_{k=1}^{n-1} \alpha_{ik}$ $\frac{\partial}{\partial i} - \delta(i-1)m+1,$ $\sum_{k=1}^{n-1} \alpha_{ik} (j-1)m+1$	0	$\delta(i-1)m+3,$ $(j-1)m+3$	0	0	$\sum_{k=1}^{n-1} \alpha_{ik}$ $\delta_{im, jm}$
$\sum_{k=1}^{n-1} \alpha_{ik}$ $\frac{\partial}{\partial i} - \delta(i-1)m+1,$ $\sum_{k=1}^{n-1} \alpha_{ik} (j-1)m+1,$	0	0	$\delta(i-1)m+4,$ $(j-1)m+4$	0	$\sum_{k=1}^{n-1} \alpha_{ik}$ $\delta_{im, jm}$
...
$\sum_{k=1}^{m-1} \delta(i-1)m+1$ $\sum_{k=1}^{n-1} \alpha_{ik} (j-1)m+1$	0	0	0	$\delta(i-1)m+m-1,$ $(j-1)m+m-1$	$\sum_{k=1}^{n-1} \alpha_{ik}$ $\delta_{im, jm}$
0	0	0	0	0	0
0	0	0	0	0	0

表5 次元-次元-四面體要素の小行列

$\sum_{k=1}^{n-1} \alpha_{ik}$ $\frac{\partial}{\partial i} - \delta(i-1)m+1,$ $(i-1)m+1$	$\sum_{k=1}^{n-1} \alpha_{ik}$ $\frac{\partial}{\partial i} - \beta(i-1)m+2,$ $(i-1)m+2$	$\sum_{k=1}^{n-1} \alpha_{ik}$ $\frac{\partial}{\partial i} - \alpha(i-1)m+2,$ $(i-1)m+3$	$\sum_{k=1}^{n-1} \alpha_{ik}$ $\frac{\partial}{\partial i} - \alpha(i-1)m+2,$ $(i-1)m+4$	$\sum_{k=1}^{n-1} \alpha_{ik}$ $\frac{\partial}{\partial i} - \alpha(i-1)m+2,$ $(i-1)m+m-1$	$\delta_{im, im}$
$\sum_{k=1}^{n-1} \alpha_{ik}$ $\frac{\partial}{\partial i} - \delta(i-1)m+1,$ $(i-1)m+1$	$\sum_{k=1}^{n-1} \alpha_{ik}$ $\frac{\partial}{\partial i} + \frac{\partial}{\partial j} - \delta(i-1)m+1,$ $(i-1)m+1$	$\sum_{k=1}^{n-1} \alpha_{ik}$ $\frac{\partial}{\partial i} + \frac{\partial}{\partial j} - \alpha(i-1)m+3,$ $(i-1)m+2$	$\sum_{k=1}^{n-1} \alpha_{ik}$ $\frac{\partial}{\partial i} + \frac{\partial}{\partial j} - \alpha(i-1)m+3,$ $(i-1)m+3$	$\sum_{k=1}^{n-1} \alpha_{ik}$ $\frac{\partial}{\partial i} + \frac{\partial}{\partial j} - \alpha(i-1)m+3,$ $(i-1)m+4$	$\delta_{im, im}$
$\sum_{k=1}^{n-1} \alpha_{ik}$ $\frac{\partial}{\partial i} - \delta(i-1)m+1,$ $(i-1)m+1$	$\sum_{k=1}^{n-1} \alpha_{ik}$ $\frac{\partial}{\partial i} - \alpha(i-1)m+4,$ $(i-1)m+2$	$\sum_{k=1}^{n-1} \alpha_{ik}$ $\frac{\partial}{\partial i} - \alpha(i-1)m+4,$ $(i-1)m+3$	$\sum_{k=1}^{n-1} \alpha_{ik}$ $\frac{\partial}{\partial i} - \beta(i-1)m+4,$ $(i-1)m+4$	$\sum_{k=1}^{n-1} \alpha_{ik}$ $\frac{\partial}{\partial i} - \alpha(i-1)m+4,$ $(i-1)m+m-1$	$\delta_{im, im}$
...
$\sum_{k=1}^{m-1} \delta(i-1)m+1,$ $\sum_{k=1}^{n-1} \alpha_{ik} (i-1)m+1$	$\sum_{k=1}^{m-1} \alpha_{ik}$ $\frac{\partial}{\partial i} - \alpha(i-1)m+m-1,$ $(i-1)m+2$	$\sum_{k=1}^{m-1} \alpha_{ik}$ $\frac{\partial}{\partial i} - \alpha(i-1)m+m-1,$ $(i-1)m+3$	$\sum_{k=1}^{m-1} \alpha_{ik}$ $\frac{\partial}{\partial i} - \alpha(i-1)m+m-1,$ $(i-1)m+4$	$\sum_{k=1}^{m-1} \alpha_{ik}$ $\frac{\partial}{\partial i} - \beta(i-1)m+m-1,$ $(i-1)m+m-1$	$\delta_{im, im}$
1	1	1	1	1	-1
$\sum_{k=1}^{n-1} \alpha_{ik}$	$\sum_{k=1}^{n-1} \alpha_{ik}$	$\sum_{k=1}^{n-1} \alpha_{ik}$	$\sum_{k=1}^{n-1} \alpha_{ik}$	j_{im-1}	0

表6 次元-次元-四面體要素の小行列

$\sum_{k=1}^{n-1} \alpha_{ik}$ $\frac{\partial}{\partial i} - \delta(i-1)m+1,$ $(j-1)m+1$	$\sum_{k=1}^{n-1} \alpha_{ik}$ $\frac{\partial}{\partial i} - \delta(i-1)m+2,$ $(j-1)m+2$	0	0	0	$\delta_{jm, jm}$
$\sum_{k=1}^{n-1} \alpha_{ik}$ $\frac{\partial}{\partial i} - \delta(i-1)m+1,$ $(j-1)m+1$	0	$\sum_{k=1}^{n-1} \alpha_{ik}$ $\frac{\partial}{\partial i} - \delta(i-1)m+3,$ $(j-1)m+3$	0	0	$\delta_{jm, jm}$
$\sum_{k=1}^{n-1} \alpha_{ik}$ $\frac{\partial}{\partial i} - \delta(i-1)m+1,$ $(j-1)m+1$	0	0	$\sum_{k=1}^{n-1} \alpha_{ik}$ $\frac{\partial}{\partial i} - \delta(i-1)m+4,$ $(j-1)m+4$	0	$\delta_{jm, jm}$
...
$\sum_{k=1}^{m-1} \delta(i-1)m+1,$ $\sum_{k=1}^{n-1} \alpha_{ik} (j-1)m+1$	0	0	0	$\sum_{k=1}^{m-1} \alpha_{ik}$ $\frac{\partial}{\partial i} - \delta(i-1)m+m-1,$ $(j-1)m+m-1$	$\delta_{jm, jm}$
0	0	0	0	0	0
0	0	0	0	0	0

マトリックス- A^t, B^t, C^t の同行、同列の小行列相互、例へば A_{zz}, B_{zz}, C_{zz} の向て、 m 位の小行列 A と C たり $m-2$ 項目の要素の和を求め、 m 位の小行列 B の $m-1, m$ 列の要素を除いてマトリックスの組合せによつて、マトリックス-ID を構成する。小行列 D、この例では D_{zz} が出来る。

以上によつて荷重 W_i と格子点力 q_i との関係がマトリックスの形式で表示され、格子点力 q_i の影響線が求まる。

5 在意形状の遮蔽格子桁の断面力・変形・影響線

在意形状の遮蔽格子桁の断面力・変形・影響線は、

$$S' = S_0 + \sum_{k=1}^m S_{kx} \cdot q_k$$

同様に、 S' は基本系遮蔽桁の断面力・変形の影響線であり、 $S_{kx} \cdot q_k$ は格子点力による断面力・変形である。

6 例題

図-2 に示す構造 4 主桁 3 棚間遮蔽格子桁。構造形を考へ、橋脚構成は

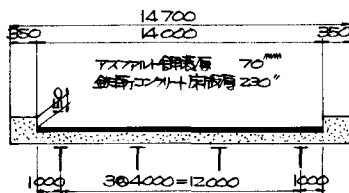


図-3

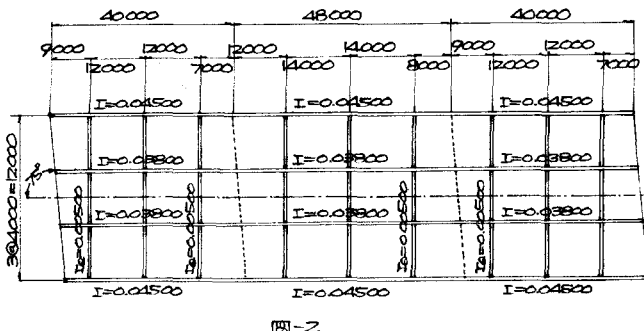


図-2

上図より、上記のとおり、上記橋脚に就いて荷重計算は大いに異りである。

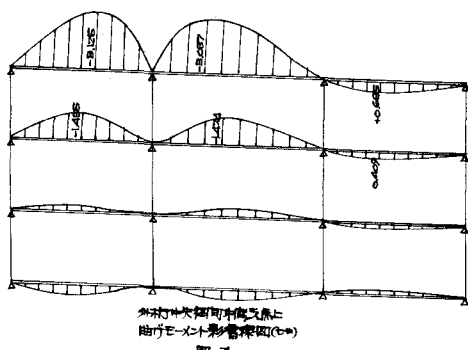
死荷重 (t/m)				等分布荷重 (t/m)				集中荷重 (t)			
2.220	2.200	2.200	2.220	0.175	1.400	0.875	0.088	2.500	20.000	12.500	1.250
				0.175	1.400	0.875	0.088	2.500	20.000	12.500	1.250
				0.088	0.875	1.400	0.175	1.250	12.500	20.000	2.500
				0.088	0.875	1.400	0.175	1.250	12.500	20.000	2.500

群集荷重なし

構造形状荷重データをインプットデータとして、本社の電子計算機 IBM 8/370 MODEL 135 (現在 96 KB, 現在 192 KB 扩張) で計算すると、曲げモーメント影響線、荷重載荷後の曲げモーメントダイヤグラムは次の様になる。(図-4, 5, 6, 7 参照)

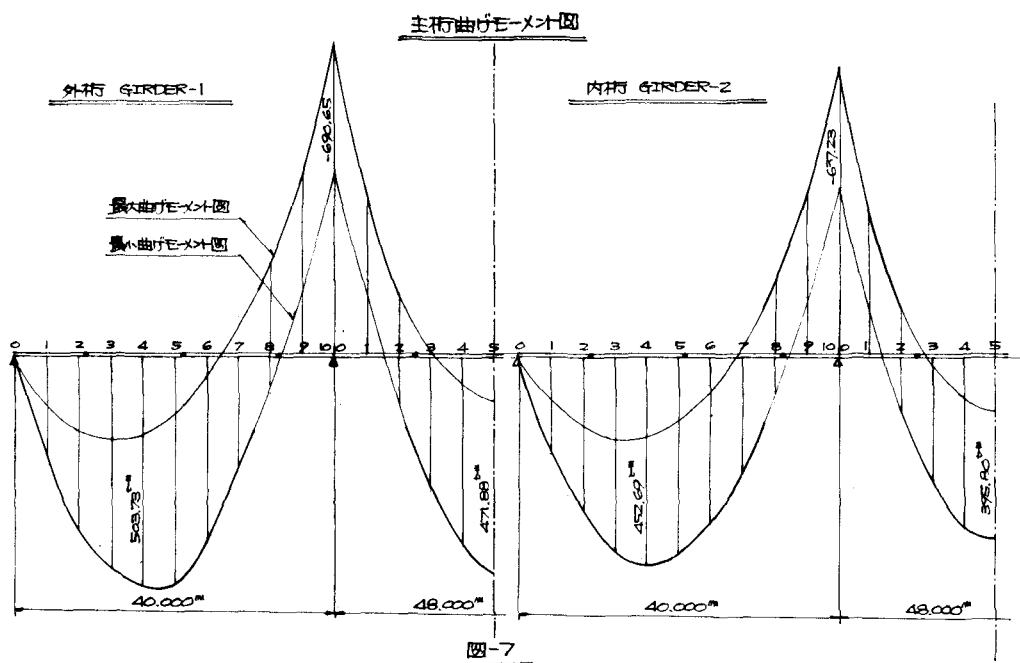
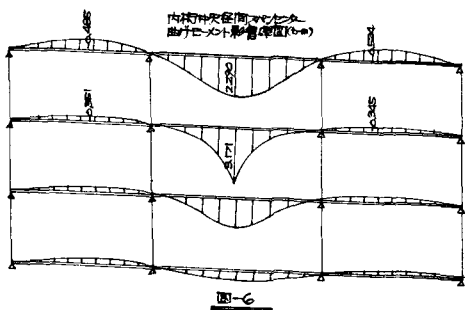
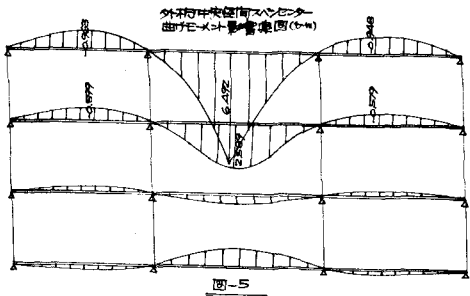
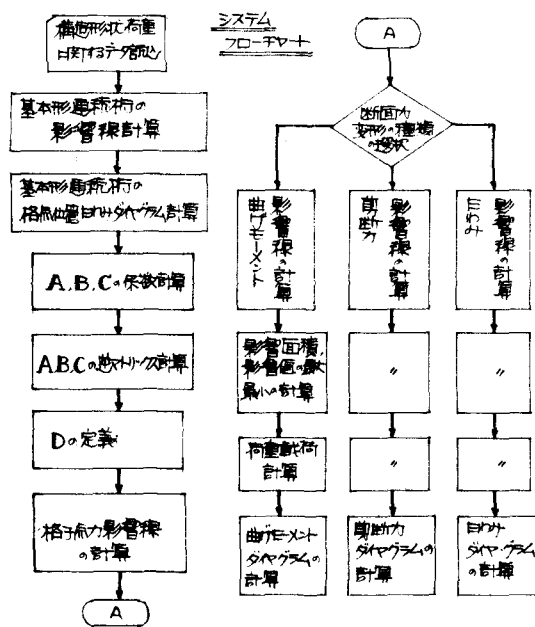
遮蔽格子桁プログラム。計算過程の次ページのシステム、フローチャートを簡単に説明する。

本例題の構造形状データを読み曲げモーメント・剪断力・等分布影響線、ダイヤグラムを計算する。CPU 時間は概定を 4 分 (マルチタスキング考慮)、えび デコレーション・タイムは約 21 秒、之に 20 % を CPU 時間と仮定)、インプット・データ・カード枚数 28 枚、印刷行数 4600 行である。



外筋材大箱型構造上
曲げモーメント影響線図(t)

図-4



参考文献

- (1) 青木弘; "格子筋の一解法" 土木学会北海道支部 技術資料第20号
- (2) 渡辺昇; 格子筋の理論と計算 案報堂
- (3) 渡辺昇; 稲の影響係数の理論と計算法 現代社